

## ФОРМИРОВАНИЕ МИКРОГЕОМЕТРИИ ШЛИФУЕМОЙ ПОВЕРХНОСТИ

Новиков Ф.В., докт. техн. наук

(г. Харьков, Украина)

*The idealized approach to calculation of main specifications of microgeometry of a surface which is generatrix at grinding is offered.*

Управление параметрами шероховатости обработки на финишных операциях – важнейшая задача технологии машиностроения.

Рассмотрим условия формирования шероховатости поверхности при шлифовании. В работе [1] приведена расчётная зависимость относительной полноты профиля круга  $\varepsilon(\bar{y})$  – вероятностной функции, идентичной классической относительной опорной длине микропрофиля обработанной поверхности (рис. 1).

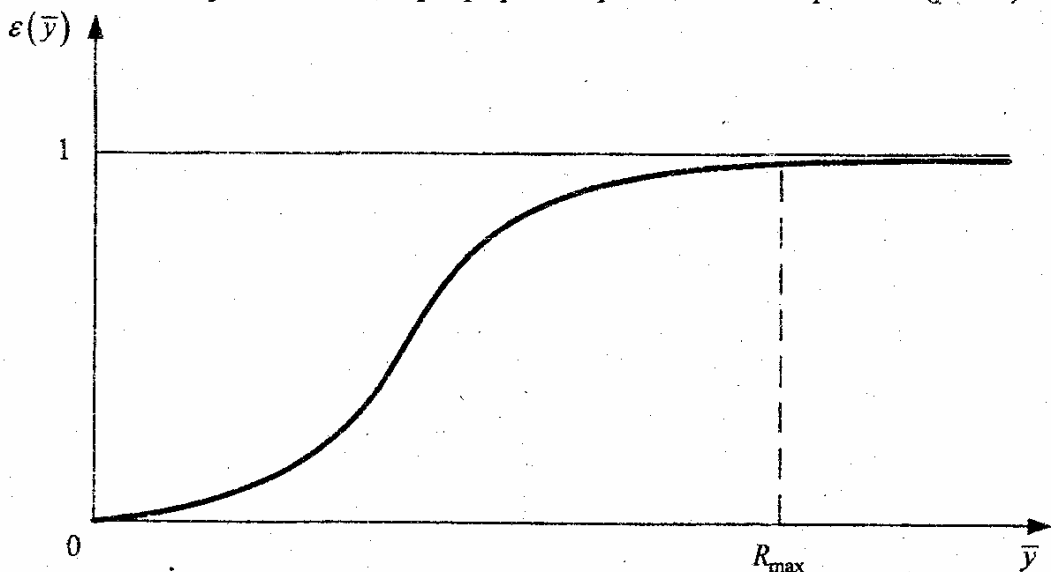


Рис. 1. Общий вид относительной полноты профиля круга.

$$\varepsilon(\bar{y}) = 1 - \exp\left(-\frac{\operatorname{tg}\gamma \cdot k \cdot V_{kp} \cdot \bar{y}}{3 \cdot b \cdot V_{dem}}\right), \quad (1)$$

- где  $k$  – поверхностная концентрация зёрен круга, шт/м<sup>2</sup>;  
 $b$  – максимальная высота выступания зёрен над уровнем связки, м;  
 $V_{kp}$  – скорость круга, м/с;  
 $V_{dem}$  – скорость прямолинейного образца, движущегося по нормали к кругу, м/с;  
 $\gamma$  – половина угла заострения зерна;  
 $\bar{y}$  – координата, направленная к кругу, м.

Максимальная высота микронеровностей на обработанной поверхности  $R_{max}$  определяется из условия  $\varepsilon(\bar{y} = R_{max}) = \varepsilon_0$ . Тогда, логарифмируя (1), получим

$$R_{max} = \sqrt[3]{\frac{-3 \cdot b \cdot V_{dem} \cdot \ln(1 - \varepsilon_0)}{\operatorname{tg}\gamma \cdot k \cdot V_{kp}}}, \quad (2)$$

Полученная зависимость содержит неопределённый параметр  $-\ln(1 - \varepsilon_0)$ , который может изменяться в значительных пределах, табл. 1.

Таблица 1.

Расчётные значения  $-\ln(1 - \varepsilon_0)$

$\varepsilon_0$	0,85	0,9	0,99	0,999	0,9999	0,99999	0,999999
$-\ln(1 - \varepsilon_0)$	1,897	2,3	2,995	4,6	6,907	11,5	13,81

Для определения параметра  $\varepsilon_0$  рассмотрим расчётную схему, рис. 2. Рабочую поверхность круга представим множеством элементарных горизонтальных слоёв бесконечно малой толщины  $dy_s$  и определим количество вершин зёрен, прошедших через аналогичные горизонтальные элементарные слои плоскости, толщиной  $dy_s$  и шириной  $B$ , равной высоте круга, рис. 2. Через первый, наиболее удалённый от уровня связки элементарный слой плоскости, прошло  $n_1$  вершин зёрен первого элементарного слоя рабочей поверхности круга

$$n_1 = k \cdot B \cdot V_{kp} \cdot \tau \cdot \frac{dy_s}{b}, \quad (3)$$

где  $\tau = \frac{dy_s}{V_{dem}}$  - время, за которое плоскость в радиальном направлении переместилась на величину  $dy_s$ ;

$\frac{dy_s}{b}$  - коэффициент, учитывающий изменение поверхностной концентрации зёрен круга  $k$  на уровне первого элементарного слоя.

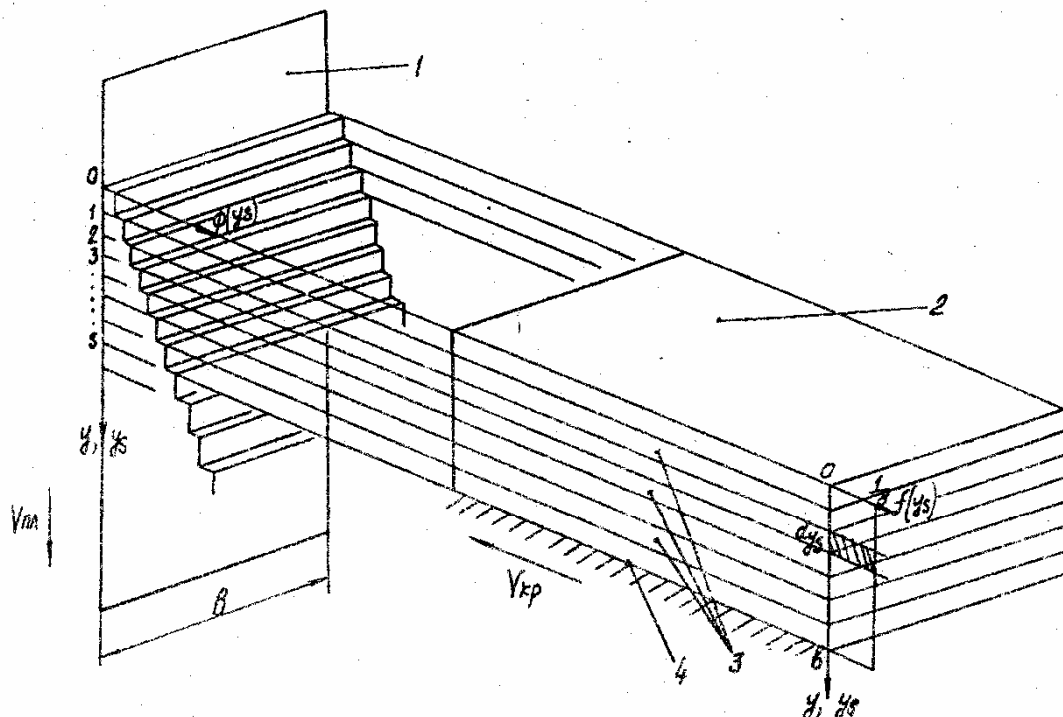


Рис. 2. Расчётная схема закона распределения вершин проекций зёрен на движущейся плоскости: 1 – движущаяся плоскость; 2 – элементарный объём рабочей поверхности круга; 3 – зёрна круга; 4 – уровень связки круга.

Через второй, ниже расположенный элементарный слой плоскости, прошли вершины зёрен первого и второго элементарных слоёв рабочей поверхности круга, по количеству вдвое больше  $n_1$ .

$$n_2 = 2 \cdot k \cdot B \cdot \frac{dy_s}{V_{dem}} \cdot \frac{dy_s}{b}, \quad (4)$$

Через третий элементарный слой плоскости прошли вершины зёрен первого, второго и третьего элементарных слоёв рабочей поверхности круга, по количеству втрое больше  $n_1$

$$n_3 = 3 \cdot k \cdot B \cdot \frac{dy_s}{V_{dem}} \cdot \frac{dy_s}{b}, \quad (5)$$

Через  $S$ -тый элементарный слой, по аналогии, прошло  $n_S$  вершин зёрен

$$n_S = S \cdot k \cdot B \cdot \frac{dy_s}{V_{dem}} \cdot \frac{dy_s}{b}, \quad (6)$$

Как видим, равномерный закон распределения высот выступания вершин зёрен над уровнем связки  $f(y_s)$  трансформировался в треугольный  $\phi(y_s)$  на движущейся плоскости. Учитывая независимый случайный характер наложения проекций зёрен на плоскости, можно полагать, что в пределах одного элементарного горизонтального слоя плоскости вершины зёрен по ширине распределены равномерно и каждому зерну соответствует одинаковая по площади прямоугольная ячейка, рис. 3. Ширина ячейки первого элементарного слоя равна

$$C_1 = \frac{B}{n_1} = \frac{b \cdot V_{dem}}{k \cdot V_{kp} \cdot dy_s^2}, \quad (7)$$

Ширина ячейки  $S$ -того элементарного слоя плоскости определяется аналогичным образом

$$C_S = \frac{b \cdot V_{dem}}{S \cdot k \cdot V_{kp} \cdot dy_s^2}, \quad (8)$$

С ростом порядкового номера ячейки элементарного слоя ширина ячейки и соответственно расстояние между вершинами зёрен уменьшаются, рис.3. В результате взаимного перекрытия проекций зёрен одного элементарного слоя плоскости образуется пилообразный элементарный профиль, характеризуемый определённой частотой и амплитудой. С увеличением порядкового номера слоя частота элементарного профиля возрастает, а амплитуда уменьшается.

Следуя такой расчётной схеме, максимальную высоту микронеровностей приведенного режущего профиля круга определяет тот элементарный профиль, для которого функционал

$$R_{max} = (S-1) \cdot dy_s + \left( dy_s + \frac{C_S}{tg\gamma} \right) \quad (9)$$

принимает максимальное значение,

где  $(S-1) \cdot dy_s$  - координата  $(S-1)$  элементарного слоя;

$\left( dy_s + \frac{C_S}{tg\gamma} \right)$  - максимальная амплитуда  $S$ -того элементарного профиля,

полученная в соответствии с принятым расположением проекций зёрен на плоскости, рис. 2. После подстановки (8) в (9) и несложных преобразований параметр  $R_{max}$  выразится

$$R_{\max} = S \cdot dy_s + \frac{b \cdot V'_{\text{dem}}}{t g \gamma \cdot S \cdot k \cdot V_{kp} \cdot dy_s^2}, \quad (10)$$

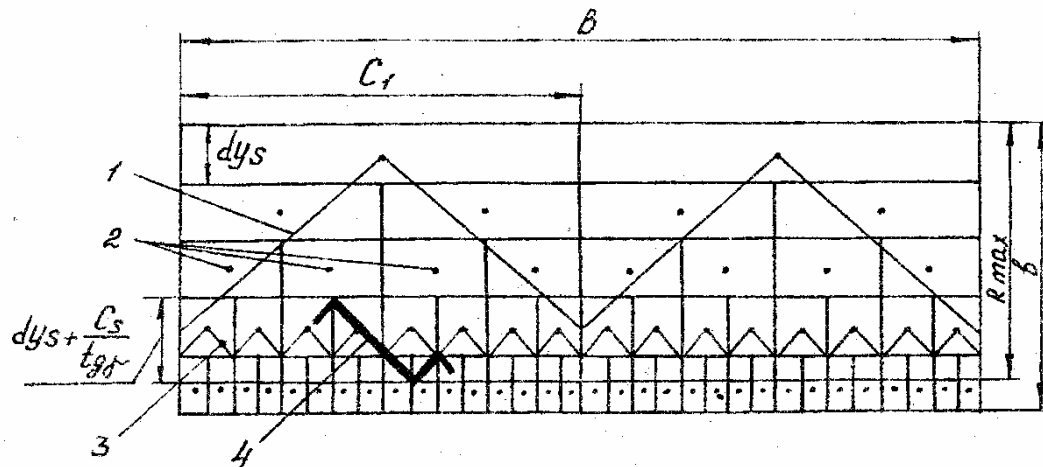


Рис. 3. Схема наложения и перекрытия элементарных пилообразных профилей круга на движущейся плоскости: 1 – пилообразный профиль, образованный первым элементарным слоем зёрен; 2 – вершины проекций зёрен; 3 - пилообразный профиль, образованный S-тым элементарным слоем зёрен; 4 – участок профиля, определяющий его максимальную амплитуду.

Функционал  $R_{\max}$ , описанный зависимостью (10), носит экстремальный характер от изменения двух переменных  $dy_s$  и  $S$ , так как с их увеличением первое слагаемое увеличивается, а второе уменьшается.

Первоначально определим экстремальное значение  $dy_s$ , при котором  $R_{\max}$  принимает минимальное значение, рис. 4. Подчинив функционал  $R_{\max}$  условию экстремума  $-R_{\max} = 0$ , получим

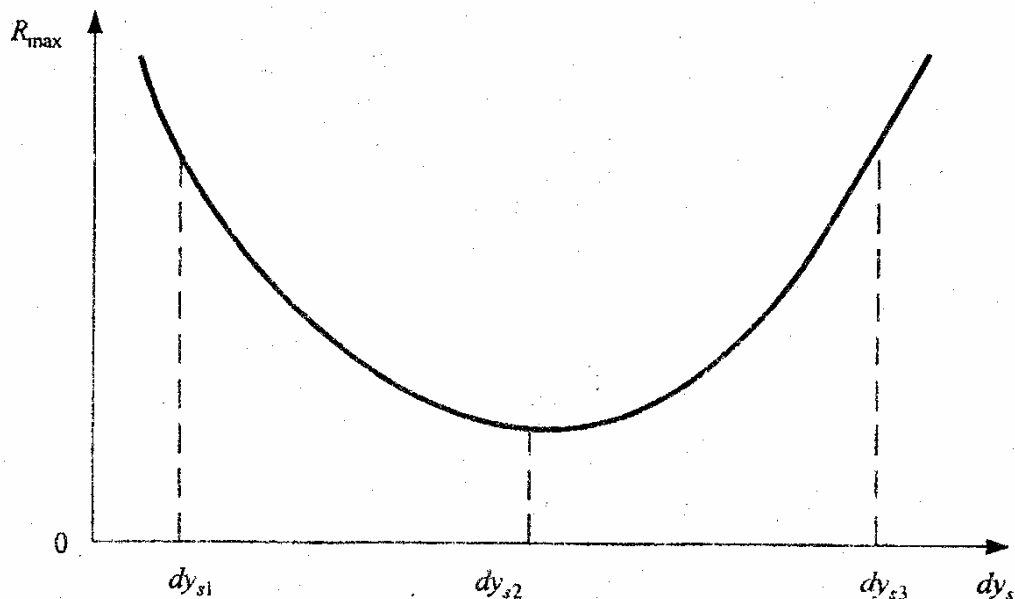


Рис. 4. Общий вид зависимости  $R_{\max} - dy_s$

$$dy_s = \sqrt[3]{\frac{2 \cdot b \cdot V_{dem}}{tg\gamma \cdot S^2 \cdot k \cdot V_{kp}}}, \quad (11)$$

тогда

$$R_{max} = \sqrt[3]{\frac{6,75 \cdot b \cdot S \cdot V_{dem}}{tg\gamma \cdot k \cdot V_{kp}}}, \quad (12)$$

Наименьшее значение  $R_{max}$  достигается при  $S = 1$ , т.е. определяющим является профиль первого элементарного слоя плоскости. Ширина ячейки  $C_1$  для такого элементарного слоя в два раза меньше его высоты  $dy_s$ . Зависимость (12) идентична зависимости (2) при  $\varepsilon_0 = 0,895$ .

В работе [1] получена аналитическая зависимость для определения относительной полноты профиля круга  $\varepsilon(\bar{y})$  с учётом износа зёрен

$$\varepsilon(\bar{y}) = 1 - e^{-\left[\frac{tg\gamma \cdot k \cdot (1-\eta^2)}{3 \cdot b} \frac{V_{kp}}{V_{dem}} \bar{y}^3\right]}, \quad (13)$$

где  $\eta$  - безразмерный коэффициент, определяющий степень затупления зёрен, 0...1. При  $\eta = 0$  зависимости (1) и (13) идентичны. Характер изменения функции  $\varepsilon(\bar{y})$  показан на рис. 5а. Заштрихованная область определяет оставшийся материал в виде микронеровностей. Максимальная высота микронеровностей равна  $R_{max}$ . Максимальную (условную) глубину внедрения материала в рабочую поверхность круга, отсчитывая её от вершины неизношенного максимально выступающего над уровнем связки зерна, обозначим  $H$ . Параметр  $H$  определяется из условия  $\varepsilon(H) = 0,895$ . Относительная опорная длина микропрофиля  $\Phi(\bar{y})$  выражается

$$\Phi(\bar{y}) = e^{-\left[\frac{tg\gamma \cdot k \cdot (1-\eta^2)}{3 \cdot b} \frac{V_{kp}}{V_{dem}} \bar{y}^3\right]}, \quad (14)$$

Графически функция  $\Phi(\bar{y})$  показана на рис. 5б. Чем больше коэффициент  $\eta$ , тем меньше значение функции  $\Phi_1$ . При  $\eta \rightarrow 1$ , т.е. при шлифовании кругом с затупившимися зёрами,  $\Phi_1 \rightarrow 0$ . Это означает, что доля оставшегося материала в виде микронеровностей в слое толщиной  $R_{max}$  не существенна.

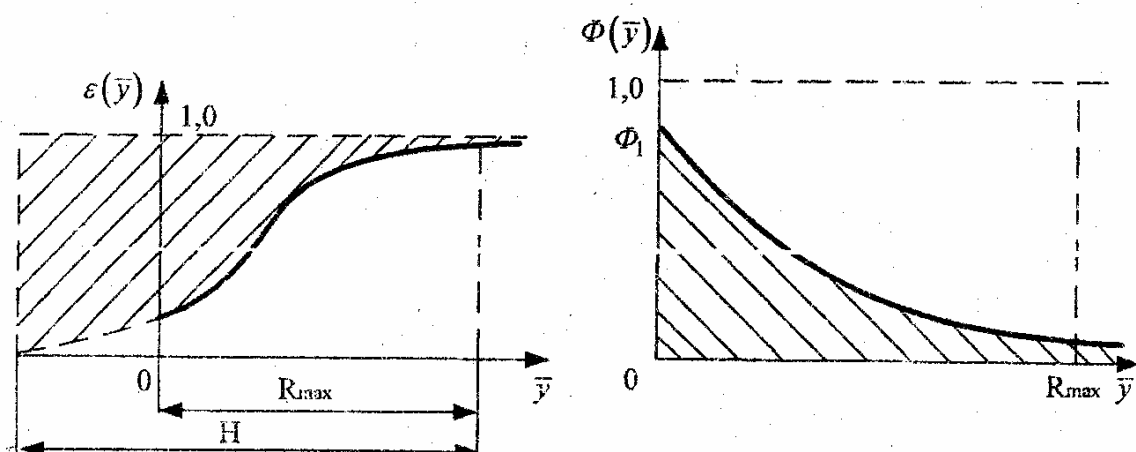


Рис. 5. Общий вид зависимостей  $\varepsilon(\bar{y}) - \bar{y}$  и  $\Phi(\bar{y}) - \bar{y}$

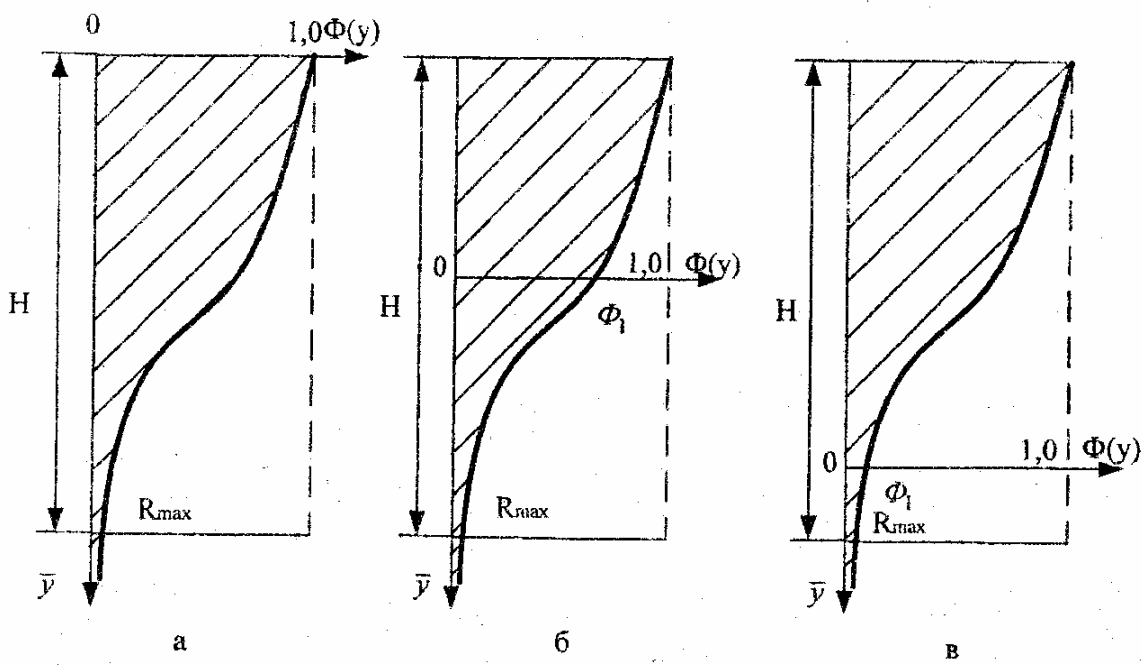


Рис.6. Характер изменения функции  $\Phi(\bar{y})$ .

На рис. 6 показаны положения функции  $\Phi(\bar{y})$  для различных значений  $\eta$ :  $\eta_3 > \eta_2 > \eta_1$ . С увеличением  $\eta \rightarrow 1$  параметр  $H$  увеличивается, а  $R_{\max}$  - уменьшается. Параметры  $H$  и  $R_{\max}$  связаны зависимостью  $x = H - R_{\max}$ , где  $x$  - величина линейного износа максимально выступающего над уровнем связки зерна. Очевидно, с увеличением коэффициента  $\eta$  величина  $x$  увеличивается.

Из рис. 6 следует, что одному значению  $R_{\max}$  соответствуют различные значения функции  $\Phi_1$ .

Изменяя систему координат, приходим к классическому построению относительной опорной длины микропрофиля обработанной поверхности при фиксированном значении  $R_{\max}$ , рис. 7 ( $\eta_3 > \eta_2 > \eta_1 = 0$ ). Чем больше коэффициент  $\eta$ , тем меньше относительная опорная длина микропрофиля и соответственно контактная жёсткость деталей машин, определяемая углом наклона функции  $\Phi(y)$  к оси  $OY$ .

Теоретические решения подтверждаются экспериментальными данными [2], рис. 8, одному значению  $R_{\max}$  ( $R_a$ ) соответствуют различные кривые относительной длины микропрофиля  $t_p$  (где  $p$  - координата профиля, отсчитываемая от вершины максимального выступа материала). Наименьшая относительная опорная длина микропрофиля достигается после шлифования абразивным кругом, а наибольшая после шлифования алмазным кругом на металлической связке и кругом из кубонита. Это связано с тем, что при шлифовании абразивным кругом безразмерный коэффициент  $\eta$  больше, чем при шлифовании алмазным кругом и кругом из кубонита. Следовательно, шлифование кругами из синтетических сверхтвёрдых материалов позволяет увеличить опорную площадь и соответственно несущую способность и износостойкость деталей машин. Поэтому при выборе оптимального метода обработки необходимо знать его возможности по формированию как высотных параметров шероховатости  $R_a$ ,  $R_z$ ,  $R_{\max}$ , так и относительной опорной длины микропрофиля обработанной поверхности.

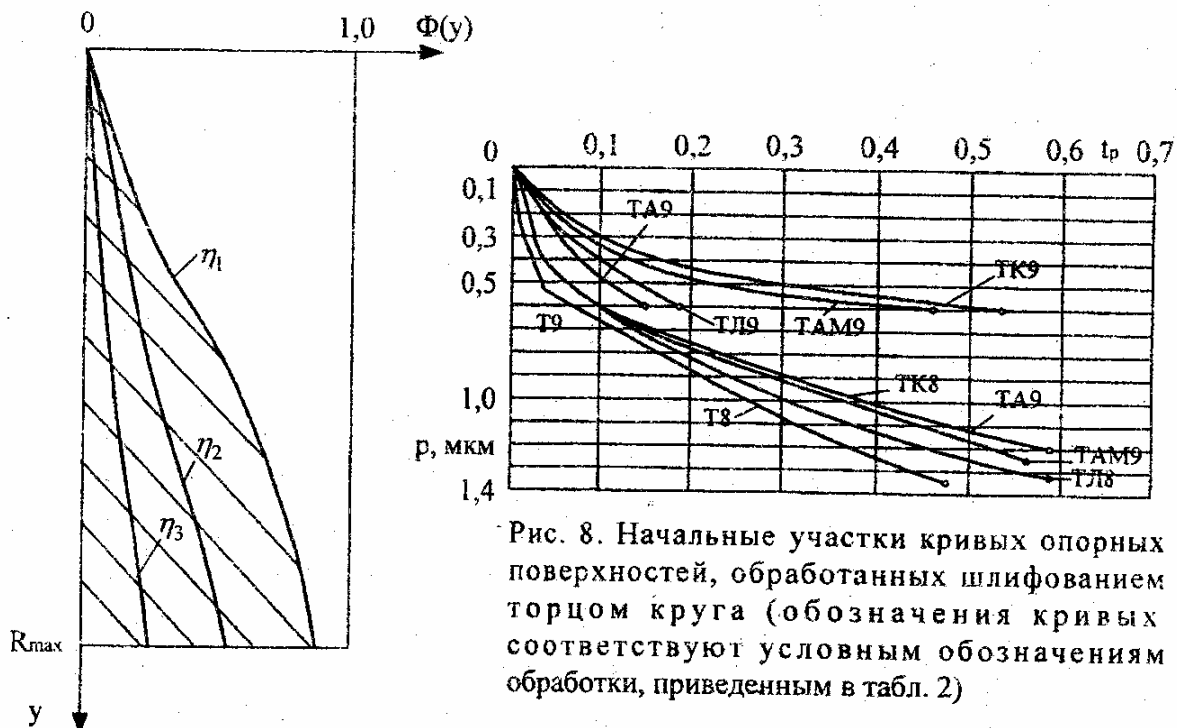


Рис.7. Зависимость  $\Phi(\bar{y}) - \bar{y}$ .

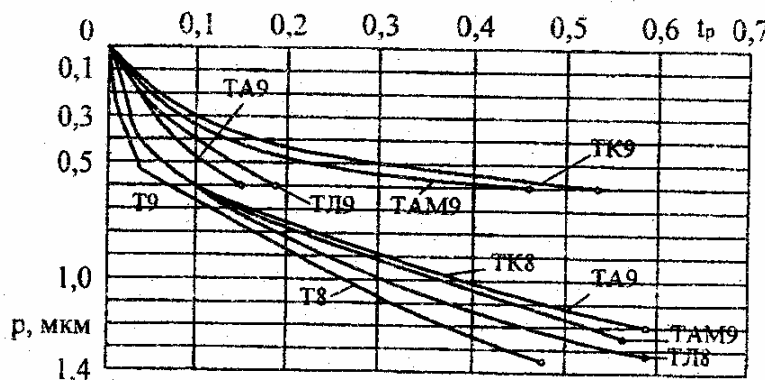


Рис. 8. Начальные участки кривых опорных поверхностей, обработанных шлифованием торцом круга (обозначения кривых соответствуют условным обозначениям обработки, приведенным в табл. 2)

Таблица 2.

Условное обозначение обработки	Характеристика круга	Режим обработки			
		$t$ , мм	$S_{non}$ , мм/дв. х	$V_{kp}$ , м/с	$S_{kp}$ , м/мин
T8	12A2 150x32x15 24A40CM2K	0,01	0,007	25	6
T9			0,003		4
TA8			0,005		4
TA9			0,003		4
TL8			0,005		4
TL9			0,003		4
TAM8			0,01	21	3
TAM9			0,01		1
TK8			0,02		3
TK9			0,02		1

Список литературы: 1. Новиков Ф.В. Физические и кинематические основы высокопроизводительного алмазного шлифования. – Дис. ... докт. техн. наук – Харьков, 1995. – 431 с. 2. Технологические методы повышения износостойкости деталей машин /Рыжов Э.В.– К.: Наук. думка, 1984. – 272 с.